

تهیه و بررسی ویژگی‌های نانوکامپوزیت پلی وینیل پیرولیدون - نانولوله کربن چند دیواره دارای گروه کربوکسیل

فاطمه حقیقت

گروه مهندسی شیمی، واحد شاهرود، دانشگاه آزاد اسلامی، شاهرود، ایران

مسعود مختاری*

گروه شیمی، واحد رشت، دانشگاه آزاد اسلامی، رشت، ایران

سعید مرتضوی

گروه مهندسی شیمی، واحد شاهرود، دانشگاه آزاد اسلامی، شاهرود، ایران

چکیده: نانوکامپوزیت پلی وینیل پیرولیدون (PVP) / نانولوله کربن چند دیواره دارای گروه کربوکسیل-
(MWCNT-COOH) در محیط آبی تهیه شد. ساختار، ریخت شناسی، ویژگی‌های گرمایی نانوکامپوزیت
به وسیله فناوری‌های SEM، FT-IR و TGA بررسی شد. براساس آنالیز DSC، دمای انتقال شیشه‌ای 159°C
برای نمونه (0.5 w/w % PVP/MWCNT-COOH) به دست آمد. افزودن (0.5 w/w % MWCNT-COOH به
PVP) به دست آمد. افزودن (0.5 w/w % MWCNT-COOH به دست آمد. افزودن (0.5 w/w % PVP به
FT-IR پایداری گرمایی پلیمر را تا دمای 400°C که در دمانگاشت TGA دیده شده است، افزایش داد. طیف IR
تشکیل پیوند هیدروژنی را بین PVP و MWCNT-COOH در نانوکامپوزیت (0.5 w/w % PVP/MWCNT-COOH) تأثیرگذارد.
تصویرهای SEM نانوکامپوزیت (0.5 w/w % PVP/MWCNT-COOH) به طور روشن توزیع
MWCNT-COOH را در ماتریس پلیمر نشان داد.

واژه‌های کلیدی: پلی وینیل پیرولیدون؛ نانولوله کربن چند دیواره کربوکسیل دار؛ نانوکامپوزیت؛ دمای انتقال
شیشه‌ای.

KEYWORDS: Polyvinylpyrrolidone; MWCNT-COOH; Nanocomposite; Glass transition temperature.

مقدمه

کامپوزیت‌های پلیمری و آمیزه‌هایی که پلیمر به عنوان ماتریس برای پرکننده‌های معدنی، آلی یا کربن به کار برد می‌شوند، تأثیر زیادی به عنوان مواد مهندسی دارند و به صورت گسترده در فراورده‌های تجاری استفاده می‌شوند. در کنار کاربردهای بسیار

*E-mail: mmokhtary@iaurasht@iaurasht.ac.ir

** عهده دار مکاتبات

ما در تهیه پلی وینیل پلی پیروولیدون حامل تری فلورورید بور به عنوان کاتالیزگر برای اکسایش آلدهیدها به اسیدهای کربوکسیل و استرها [۳۶]، در این پژوهش نانوکامپوزیت پلی وینیل پیروولیدون/ نانولوله کربن چند دیواره دارای گروه عاملی کربوکسیل (PVP/MWCNT-COOH) در محیط آبی تهیه شد (شماتی ۱). همچنین دیده شد که نانوکامپوزیت (PVP/MWCNT-COOH ۵٪ w/w) همچنین دیده شد که نانوکامپوزیت (PVP/MWCNT-COOH ۵٪ w/w) بهبود داد.

بخش تجربی

مواد شیمیایی و ابزارها

پلی وینیل پیروولیدون با وزن مولکولی متوسط ۴۰۰۰۰ از شرکت سیگما-آلدریج و نانولوله کربن دارای گروه عاملی کربوکسیل (MWCNT-COOH) با طول $30\text{ }\mu\text{m}$ و قطر خارجی $30\text{--}40\text{ nm}$ از شرکت نانو رادبهان خریداری شد. طیف بین فروسرخ تبدیل فوریه (FT-IR) تنظیم شده در حالت عبور (مدل KBr Shimadzu Sp-1100-p-uv-com) به صورت نمونه قرص با گرفته شد. پایداری گرمایی با تجزیه وزن سنجی گرمایی (TGA)، مدل Mettler Toledo (Mettler Toledo DSC) با سرعت گرمادهی 10°C/min در گستره‌ی دمایی از دمای اتاق تا 600°C در محیط جو تعیین شد. دمای انتقال شیشه‌ای (Tg) به وسیله گرماسنج روشی تفاضلی (Mettler Toledo DSC) با سرعت گرمادهی 10°C/min در گستره‌ی دمایی 300°C اندازه گیری شد. آنالیز میکروسکوپ الکترونی روبشی (SEM) جهت بررسی مورفولوژی نمونه، با استفاده از دستگاه (SEM مدل Vega) انجام شد.

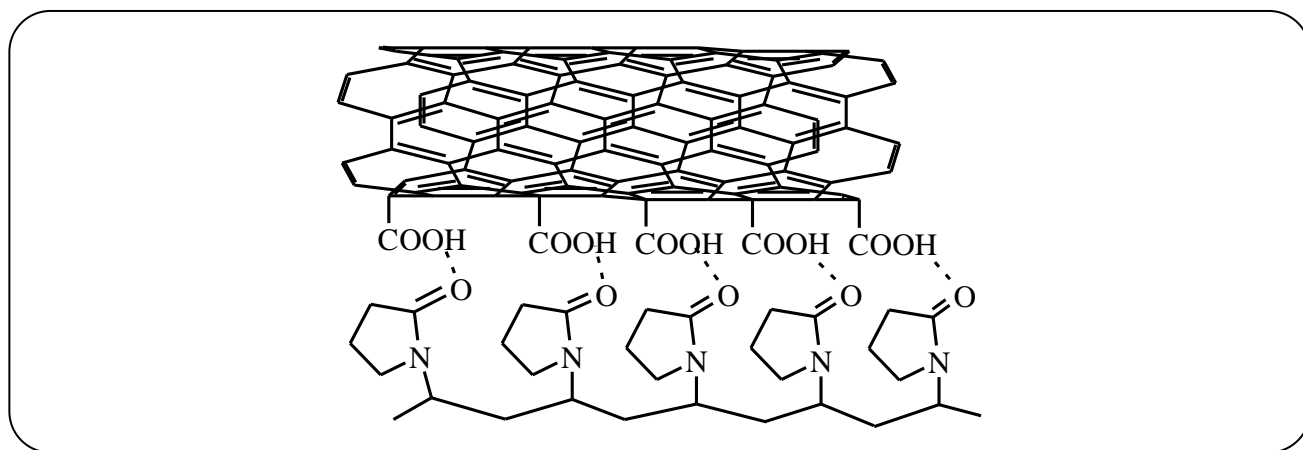
تهیه نانوکامپوزیت (% ۵ w/w)

به یک محلول از پلی وینیل پیروولیدون (۱ گرم)، در 10 میلی لیتر آب مقطر، 0.05 گرم نانولوله کربن دارای گروه عاملی کربوکسیل افزوده شد و به مدت چهار ساعت در دمای 60°C در حمام فراصوت مخلوط شد. سپس، مخلوط واکنش درون یک پتریدیش ریخته شد و در دمای 80°C در آون خشک شد.

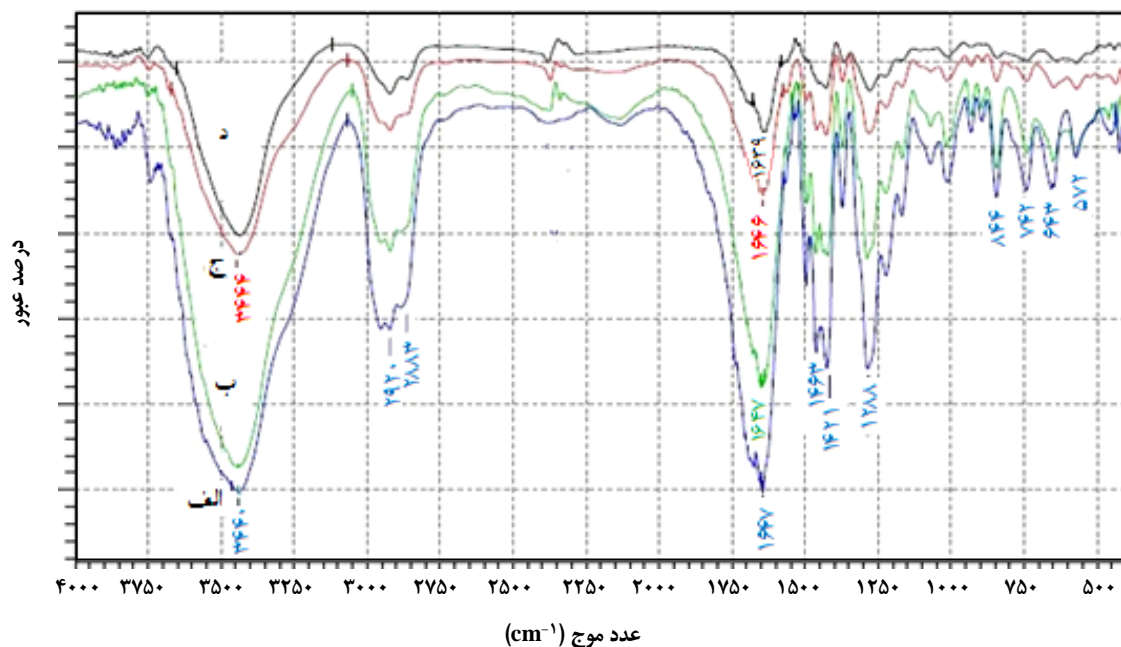
نتیجه‌ها و بحث

بررسی ویژگی‌های نانوکامپوزیت PVP/MWCNT-COOH
طیف FT-IR پلی وینیل پیروولیدون و نانوکامپوزیت‌های نشان داده شده است. ارتعاش کشنی پیوند C-N، ارتعاش کشنی

شامل استحکام ضربه، استحکام کشنی و مدول نسبت به پلیمر پر نشده می‌شوند. پژوهش‌هایی که بر روی کامپوزیت‌های پلیمری نانولوله چند دیواره انجام شده است، نشان می‌دهند که ویژگی‌های مکانیکی این کامپوزیت‌های پلیمری نسبت به پلیمرهای عادی، به دلیل استحکام و مدول بالای آن‌ها، بهبود یافته است [۲-۵]. پیشرفت‌های قابل دیدنی برای تهیه فیلم‌ها [۶] و لیف‌های کامپوزیتی نانولوله کربن / پلیمر صورت گرفته است [۷]. همچنین مطالعه کامپوزیت‌ها برای پلیمرهای نیمه بلوری [۸]، بی‌شکل [۹]، رزین‌های گرما سخت [۱۰]، پلیمرهای محلول در آب [۱۱]، پلیمرهای بلور - مایع [۱۲] و پلیمرهای دارای پیوندهای دوگانه مزدوج [۱۳] توسعه داده شده است. در نتیجه برهمکنش بین نانولوله و پلیمر، ویژگی‌های شامل مدول کشنی [۱۴]، استحکام کشنی [۱۵]، مدول پیچشی [۱۶]، استحکام فشاری [۱۷]، چقرمگی [۱۸]، دمای انتقال شیشه‌ای [۱۹]، هدایت الکتریکی [۲۰]، هدایت حرارتی [۲۱] و مقاومت در برابر حلال [۲۲] افزایش یافته است. نانولوله‌های کربن پیوند شده با پلیمر به طور ویژه برای تهیه نانوکامپوزیت‌های پلیمر / نانولوله کربن (CNT) دارای اهمیت هستند [۲۳، ۲۴]. نانولوله کربن دارای گروه عاملی کربوکسیلیک، می‌تواند برای اتصال پلیمرهای دارای گروه عاملی آمینه، با تشکیل پیوند آمیدی به کار گرفته شود [۲۵]. به عنوان نمونه، نانولوله‌های کربن پیوند شده به پلیمر / می‌توانند با پیوند کووالانسی نانولوله‌ها به پلیمرهای خطی بسیار اتحلال‌پذیر مانند پلی(پروپیونیل اتیلن ایمین) - کو - اتیلن ایمین (PPEI-EI)، با اتصال آمیدی یا پلی(وینیل استات) - کو - وینیل الكل (PVA-VA) با پیوند استری، تشکیل شوند [۲۶]. پلی وینیل پیروولیدون (PVP) یک پلیمر بی‌شکل است که به دلیل دارا بودن ویژگی‌هایی مانند چسبندگی، سازگاری فیزیولوژیکی عالی، سمیت پایین و اتحلال پذیری مناسب در آب و بیشتر حلال‌های آلی، کاربردهای گستره‌ای در زمینه زیست پزشکی دارد [۲۷]. افزون بر این، پلی وینیل پیروولیدون زیست سازگاری خوبی دارد و برای سال‌های زیادی به عنوان یک زیست ماده یا افزودنی به کامپوزیت‌های دارویی به عنوان یک منبسط کننده پلاسمای خون [۲۸] کاربرد داشته است. در سال‌های اخیر تعدادی روش‌های مؤثر برای تهیه نانوکامپوزیت‌های پلی وینیل پیروولیدون گزارش شده است [۲۹-۳۳]. همچنین نانوالیاف پلی وینیل پیروولیدون دارای نانولوله کربن چند دیواره [۳۴] و نانوالیاف پلی وینیل پیروولیدون دارای سلولز و نانوذره‌های نقره [۳۵] به روش ریسنده‌گی الکتریکی گزارش شده است. در ادامه پژوهش‌های



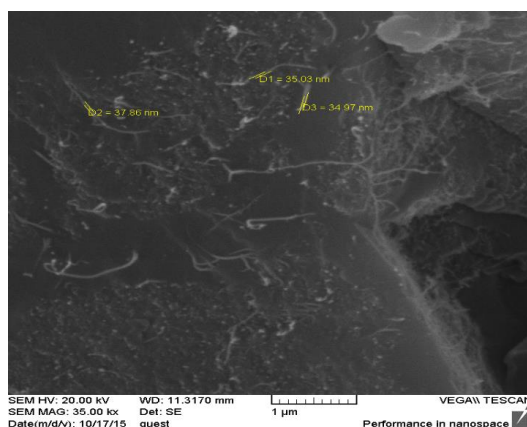
شما ۱- مدل برهمنکش بین ملکولی PVP با COOH MWCNT



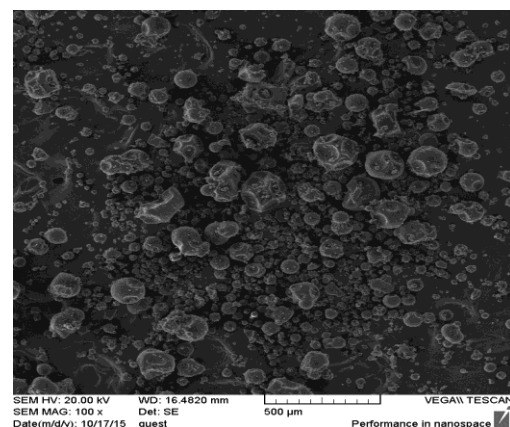
شکل ۱- طیف FT-IR (الف) PVP (ب) PVP/MWCNT-COOH(٪۱ w/w) (ج) PVP/MWCNT-COOH(٪۳ w/w) (د) PVP/MWCNT-COOH(٪۵ w/w)

جذب آب در سطح پلیمر به واسطه تشکیل پیوند هیدروژنی بین گروه کربونیل PVP و گروه هیدروکسیل آب است [۳۸]. افزودن مقادرهای وزنی متفاوت (٪۱ w/w، ٪۳ w/w، ٪۵ w/w) MWCNT-COOH در ماتریس پلیمر مورد بررسی قرار گرفت. براساس آنالیز FT-IR نانوکامپوزیت‌های (٪۱ w/w، ٪۳ w/w، ٪۵ w/w) PVP/MWCNT-COOH که در شکل ۱ نشان داده شده است، ارتعاش کشنی گروه کربونیل برای نانوکامپوزیت‌های PVP/MWCNT-COOH (٪۱ w/w، ٪۳ w/w، ٪۵ w/w)

پیوند C=O ارتعاش کشنی متقارن و نامتقارن CH₂ و ارتعاش کشنی OH برای PVP خالص بترتیب در ۱۶۴۷ cm^{-۱}، ۱۲۸۳ cm^{-۱}، ۱۱۵۰ cm^{-۱}، ۱۰۵۰ cm^{-۱} و ۹۲۰ cm^{-۱} دیده شده است (شکل ۱a). منومر وینیل پیرولیدون به طور معمول در محلول آبی با استفاده از هیدروژن پراکسید به عنوان آغازگر پلیمری می‌شود. در محلول آبی رادیکال‌های هیدروکسیل از هیدروژن پراکسید تولید می‌شوند که ایجاد گروه‌های هیدروکسیل در انتهای زنجیر پلیمر می‌کنند [۳۷]. افزون بر این، پیک پهن در ناحیه ۳۴۴۰ cm^{-۱} نشان دهنده حضور



(ب)



(الف)

شکل ۲- تصویرهای SEM (الف) PVP (ب) PVP/MWCNT-COOH(٪۵ w/w)

حضور MWCNT-COOH را در ماتریس پلیمر نشان می‌دهد.

تجزیه وزن سنجی گرمایی (TGA)

رفتار گرمایی PVP و نانوکامپوزیت‌های (٪۵ w/w) و (٪۳ w/w) PVP/MWCNT-COOH در شکل ۳ نشان داده شده است. تجزیه وزن سنجی گرمایی PVP خالص (شکل ۳ الف)، دو پیک کاهشی را نشان داده است. پیک اول در دمای حدود ۱۰۰-۱۰۵ °C به دلیل واژذب مولکول‌های آب و به دنبال آن پیک دوم در ۴۰۰-۴۵۰ °C به دلیل تجزیه و سوختن PVP ظاهر شده است. داده‌های به دست آمده از تجزیه وزن سنجی گرمایی پلی وینیل پیرولیدون خالص و نانوکامپوزیت‌ها نشان می‌دهد که در بازه‌ی دمایی ۵۰-۳۰۰ °C کاهش وزن به نسبت با شبکه کمی همراه است. کاهش وزن در دمای ۴۰۰ °C برای PVP خالص و نانوکامپوزیت‌های PVP/MWCNT-COOH (٪۱ w/w، ٪۳ w/w، ٪۵ w/w) بترتیب برابر با ٪۲۲، ٪۲۰ و ٪۱۵ است (جدول ۱). همچنین کاهش وزن در دمای ۴۰۰ °C برای نانوکامپوزیت‌های (٪۵ w/w، ٪۵w/w) PVP/MWCNT-COOH به ترتیب حدود ٪۹۴، ٪۹۵ و ٪۹۹ است. با توجه به این نتایج، نانوکامپوزیت (٪۵ w/w) PVP/MWCNT-COOH، پایداری گرمایی پلی وینیل پیرولیدون خالص را با کاهش وزن ۱۵٪ در دمای ۴۰۰ °C بهبود بخشیده است. همچنین نانوکامپوزیت (٪۱ w/w) PVP/MWCNT-COOH با مقدار پلیمر باقی مانده ۶۳٪ در دمای ۴۰۰ °C پایداری گرمایی پلی وینیل پیرولیدون خالص را تا حدودی بهبود داده است.

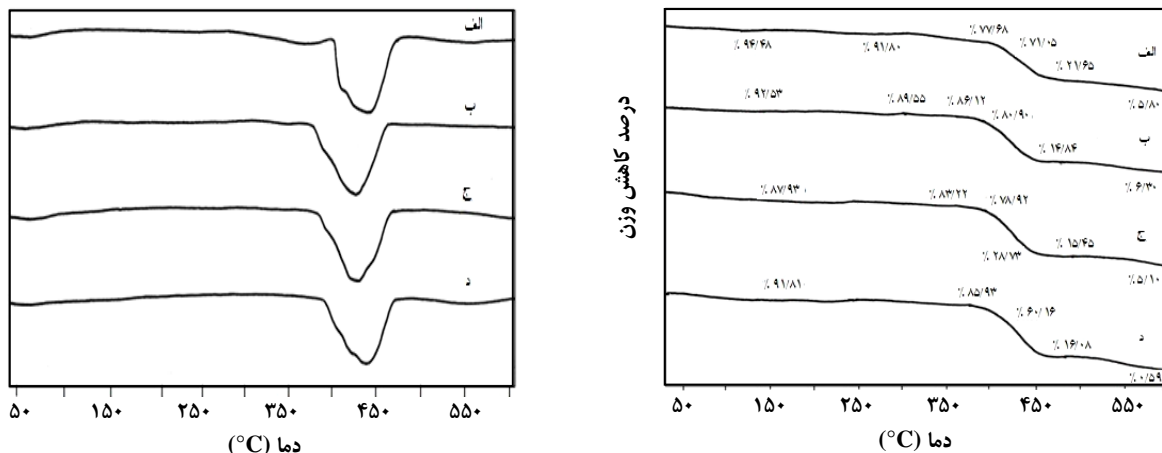
به ترتیب در ۱۶۴۷ cm⁻¹، ۱۶۴۶ cm⁻¹ و ۱۶۳۹ cm⁻¹ دیده شده است. یک برهمکنش قوی برای نانوکامپوزیت (٪۵ w/w) PVP/MWCNT-COOH در ۱۶۳۹ cm⁻¹ با اختلاف ۸ cm⁻¹ نسبت به PVP بدلیل تشکیل پیوند هیدروژنی بین گروه کربونیل PVP/MWCNT-COOH با MWCNT-COOH دیده شده است. همچنین شدت پیک گروه کربونیل PVP و گروه هیدروکسیل موجود در سطح پلیمر PVP/MWCNT-COOH در نانوکامپوزیت (٪۵ w/w) می‌باشد. همچنین چشمگیری داشته است که نشان دهنده برهمکنش قوی PVP/MWCNT-COOH با PVP در نانوکامپوزیت (٪۵ w/w) PVP/MWCNT-COOH است (شکل ۱د).

آنالیز SEM

مطالعه ریخت شناسی PVP و نانوکامپوزیت (٪۵ w/w) PVP/MWCNT-COOH به وسیله میکروسکوپ الکترونی روشنی انجام شد و تصویرهای آن در شکل ۲ نشان داده شده است. مشاهده‌های میکروسکوپ الکترونی روشنی نشان داد که نشان دهنده به صورت یکنواخت در ماتریس پلیمر پراکنده شده است که نشان دهنده سازگاری خوب بین نانولوله کربن چند دیواره دارای گروه عاملی کربونیل با زنجیره‌های پلیمر پلی وینیل پیرولیدون است (شکل ۲ب). این سازگاری به دلیل برهمکنش بین مولکولی خوب (تشکیل پیوند هیدروژنی بین مولکولی) MWCNT-COOH با گروه‌های MWCNT-COOH است. همچنین، پراکنده‌گی MWCNT-COOH در نانوکامپوزیت از طریق آنالیز SEM تعیین شد (شکل ۲ب). پراکنده‌گی نانوکامپوزیت (٪۵ w/w) PVP/MWCNT-COOH به طور روشن

جدول ۱-داده‌های تجزیه وزن سنجی گرمایی.

PVP												
(°C) دما	۵۰	۱۰۰	۱۵۰	۲۰۰	۲۵۰	۳۰۰	۳۵۰	۴۰۰	۴۵۰	۵۰۰	۵۵۰	۶۰۰
(%wt) کاهش وزن	۱	۴	۵	۶	۸	۹	۱۰	۲۲	۷۲	۸۰	۹۲	۹۴/۲
PVP/MWCNT-COOH (%۱ w/w)												
(°C) دما	۵۰	۱۰۰	۱۵۰	۲۰۰	۲۵۰	۳۰۰	۳۵۰	۴۰۰	۴۵۰	۵۰۰	۵۵۰	۶۰۰
(%wt) کاهش وزن	۱	۴	۸	۹	۱۰	۱۱	۱۳	۲۰	۷۰	۸۶	۹۰	۹۳/۷
PVP/MWCNT-COOH (%۰.۳ w/w)												
(°C) دما	۵۰	۱۰۰	۱۵۰	۲۰۰	۲۵۰	۳۰۰	۳۵۰	۴۰۰	۴۵۰	۵۰۰	۵۵۰	۶۰۰
(%wt) کاهش وزن	۱	۴	۱۰	۱۳	۱۴	۱۹	۲۱	۲۴	۶۸	۸۵	۸۸	۹۴/۹
PVP/MWCNT-COOH (%۰.۵ w/w)												
(°C) دما	۵۰	۱۰۰	۱۵۰	۲۰۰	۲۵۰	۳۰۰	۳۵۰	۴۰۰	۴۵۰	۵۰۰	۵۵۰	۶۰۰
(%wt) کاهش وزن	۱	۴	۸	۱۰	۱۱	۱۲	۱۴	۱۵	۶۲	۸۴	۹۰	۹۹/۴



شکل ۳- دمانگاشت TG (الف) PVP (ب) PVP/MWCNT-COOH (%۱ w/w) (ج) PVP/MWCNT-COOH (%۰.۳ w/w) (د) PVP/MWCNT-COOH (%۰.۵ w/w)

برای نانوکامپوزیت PVP/MWCNT-COOH (%۰.۵w/w) مقدار T_g برای افزایش یافته است (شکل ۴ب). برهم کنش قوی به 159°C افزایش یافته است (شکل ۴ب). برهم کنش قوی بین نانولوله کربن و پلیمر و امکان تشکیل پیوند کووالانسی یا پیوند هیدروژنی یکی از عامل‌های مهم در افزایش مقدار دمای انتقال شیشه‌ای پلیمرها است. افزایش يك درجه سلسیوس مقدار T_g نانوکامپوزیت (%۰.۵ w/w) PVP/MWCNT-COOH به دلیل برهمکنش بین مولکولی (تشکیل پیوند هیدروژنی) میان گروه کربونیل آمیدی PVP و MWCNT-COOH به دست آمده است. همچنین دیدن يك دمای انتقال شیشه‌ای نشان دهنده سازگاری خوب بین PVP و MWCNT-COOH است.

گرماسنجد و پوشی تفاضلی (DSC)

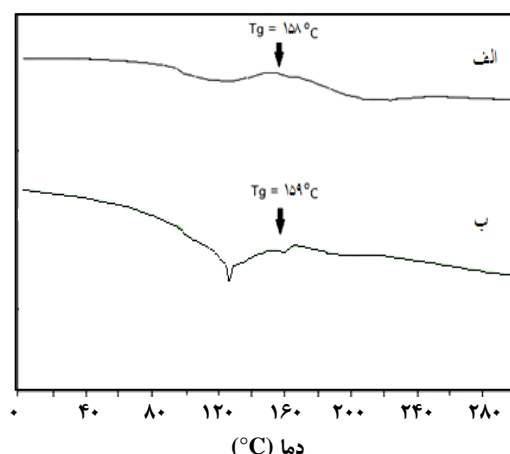
گرماسنجد و پوشی تفاضلی به یافتن دمای انتقال شیشه‌ای پلیمرها، آمیزه‌های پلیمری و کامپوزیت‌های پلیمر کمک می‌کند. دمای انتقال شیشه‌ای (T_g)، به عنوان نقطه میانی تغییرهای ظرفیت گرمایی تعیین می‌شود. دمای انتقال شیشه‌ای PVP با افزایش جرم مولکولی افزایش می‌یابد و برای پلی وینیل پیرولیدون با جرم مولکولی ۴۰۰۰ نزدیک 160°C است [۳۷]. شکل ۴الف، منحنی DSC پلی وینیل پیرولیدون را نشان می‌دهد. دمای انتقال شیشه‌ای PVP خالص در حدود 158°C دیده شده است. پیک گرمایی در محدوده دمایی $100\text{--}140^{\circ}\text{C}$ مربوط به ازدست دادن آب از سطح پلیمر است [۳۹].

پلیمر تا دمای 400°C که در دمانگاشت TGA دیده شده است، بهبود می‌دهد. همچنین، افزودن (٪۱ w/w) MWCNT-COOH به PVP پایداری گرمایی پلیمر را تا دمای 400°C تحادوی بهبود داده است. طیف FT-IR تشکیل پیوند هیدروژنی بین PVP و MWCNT-COOH در نانوکامپوزیت (٪۰.۵ w/w) MWCNT-COOH PVP/MWCNT-COOH را تأیید کرده است. کامپوزیت‌های پلیمری دارای نanolوله کربن، پتانسیل کاربردی مهمی در ثبیت زیست مولکول‌ها دارند. بنابراین نانوکامپوزیت پلیمری تهیه شده، پتانسیل استفاده در کاربردهای زیست پزشکی را خواهد داشت.

قدرتانی

تشکر ویژه از دانشگاه آزاد اسلامی واحد رشت برای حمایت مالی شماره ۴/۵۸۳۰ و همچنین تشکر از دانشگاه آزاد اسلامی واحد شاهroud برای حمایت از این پژوهش.

تاریخ دریافت: ۱۷/۱۰/۱۳۹۴، تاریخ پذیرش: ۲۱/۱/۱۳۹۶



شکل ۴- دمانگاشت DSC (الف) (ب) (٪۰.۵ w/w) PVP .PVP/MWCNT-COOH

نتیجه گیری

در پژوهش حاضر، نانوکامپوزیت‌های PVP/MWCNT-COOH در محیط آبی تهیه شدند. نتیجه‌های به دست آمده نشان داد که افزودن (٪۰.۵ w/w) MWCNT-COOH به PVP پایداری گرمایی

مراجع

- [۱] دیده بان، خدیجه؛ اکبری، مینا؛ عادل‌خانی، هادی؛ **مطالعه رفتار کامپوزیت پلی آکریل آمید روی اکسید به عنوان الکترود در ابرخازنهای الکتروشیمیایی**، نشریه شیمی و مهندسی شیمی ایران، ۳۴(۲) ۴۱ تا ۴۶ (۱۳۹۴).
- [۲] Qian D., Dickey E. C., **Load Transfer and Deformation Mechanisms in Carbon Nanotube-Polystyrene Composites**, *Appl. Phys. Lett.*, **76**: 2868-2870 (2000).
- [۳] Wagner H.D., Lourie O., Feldman Y., Tenne R., **Stress-Induced Fragmentation of Multiwall Carbon Nanotubes in a Polymer Matrix**, *Appl. Phys. Lett.*, **72**: 188-190 (1998).
- [۴] Schadler L.S., Giannaris S.C., Ajayan P.M., **Load Transfer in Carbon Nanotube Epoxy Composites**, *Appl. Phys. Lett.*, **73**: 3842-3844 (1998).
- [۵] Cooper C.A., Young, R.J., **Investigation of Structure/Property Relationships in Particulate Composites Through the Use of Raman Spectroscopy**, *J. Raman Spectrosc.*, **30**: 929-938 (1999).
- [۶] Benoit J.M., Corraze B., Chauvet O., **Localization, Coulomb Interactions, and Electrical Heating in Single-Wall Carbon Nanotubes/Polymer Composites**, *Phys. Rev. B.*, **65**: 241405 (2002).
- [۷] Sreekumar T.V., Liu T., Min B.G., Guo H., Kumar S., Hauge R.H., Smalley R.E., **Polyacrylonitrile Single-Walled Carbon Nanotube Composite Fibers**, *Adv. Mater.*, **16**: 58–61 (2004).

- [8] Wu M., Shaw L.L., **On the Improved Properties of Injection-Molded, Carbon Nanotube-Filled PET/PVDF Blends**, *J. Power Sources*, **136**: 37–44 (2004).
- [9] Sen R., Zhao B., Perea D., Itkis M. E., Hu H., Love J., Bekyarova E., Haddon, R. C., **Preparation of Single-Walled Carbon Nanotube Reinforced Polystyrene and Polyurethane Nanofibers and Membranes by Electrospinning**, *Nano Lett.*, **4**: 459–464 (2004).
- [10] Martin C.A., Sandler J.K.W., Windle A.H., Schwarz M.K., Bauhofer W., Schulte K., Shaffer M.S.P., **Electric Field-Induced Aligned Multi-Wall Carbon Nanotube Networks in Epoxy Composites**, *Polymer*, **46**: 877–886 (2005).
- [11] Zhao B., Hu H., Haddon R.C., **Synthesis and Properties of a Water-Soluble Single-Walled Carbon Nanotube-poly(m-aminobenzene sulfonic acid) Graft Copolymer**, *Adv. Funct. Mater.*, **14**: 71–76 (2004).
- [12] Mrozek R.A., Kim B.S., Holmberg V.C., Taton T.A. **Homogeneous, Coaxial Liquid Crystal Domain Growth from Carbon Nanotube Seeds**, *Nano Lett.*, **3**: 1665–1669 (2003).
- [13] Huang, J.E., Li, X. H., Xu, J.C., Li, H.L., **Well-Dispersed Single-Walled Carbon Nanotube/Polyaniline Composite Films**, *Carbon*, **41**: 2731–2736 (2003).
- [14] Velasco-Santos C., Martinez-Hernandez A.L., Fisher F.T., Ruoff R., Castano V. M., **Improvement of Thermal and Mechanical Properties of Carbon Nanotube Composites Through Chemical Functionalization**, *Chem. Mater.*, **15**: 4470–4475.
- [15] Coleman J.N., Cadek M., Blake R., Nicolosi V., Ryan K.P., Belton C., Fonseca A., Nagy J.B., Gun'ko Y.K., Blau W.J., **High-Performance Nanotube-Reinforced Plastics: Understanding the Mechanism of Strength Increase**, *Adv. Funct. Mater.*, **14**: 791–798 (2004).
- [16] Ma H.M., Zeng, J.J., Realff, M.L., Kumar, S., Schiraldi, D.A., **Processing, Structure, and Properties of Fibers from Polyester/Carbon Nanofiber Composites**, *Compos. Sci. Technol.*, **63**: 1617–1628 (2003).
- [17] Zeng J.J., Saltyciak B., Johnson W.S., Schiraldi D.A., Kumar, S. **Processing and Properties of Poly(methyl methacrylate)/Carbon Nano Fiber Composites**, *Composites Part B*, **35**: 173–178 (2004).
- [18] Pham J.Q., Mitchell C.A., Bahr, J.L., Tour, J.M., Krishnamoorti, R. Green, P.F., **Glass Transition of Polymer/Single-Walled Carbon Nanotube Composite Films**, *J. Polym. Sci. B-Polym. Phys.*, **41**: 3339–3345 (2003).
- [19] Grunlan J.C., Mehrabi A.R., Bannon M.V., Bahr J.L., **Water-Based single-Walled-Nanotube-Filled Polymer Composite with an Exceptionally Low Percolation Threshold**, *Adv. Mater.*, **16**: 150–153 (2004).
- [20] Shenogin S., Xue L.P., Ozisik R., Kebblinski P., Cahill D.G., **Role of Thermal Boundary Resistance on the Heat Flow in Carbon-Nanotube Composites**, *J. Appl. Phys.*, **95**: 8136–8144 (2004).

- [21] Guo H., Sreekumar T.V., Liu T., Minus M., Kumar S., Structure and Properties of Polyacrylonitrile/Single Wall Carbon Nanotube Composite Films, *Polymer*, **46**: 3001–3005 (2005).
- [22] Baek J.B., Lyons C.B., Tan L.S., Grafting of Vapor-Gown Carbon Nanofibers Via in Situ Polycondensation of 3-Phenoxybenzoic Acid in Poly(phosphoric acid), *Macromolecules*, **37**: 8278–8285 (2004).
- [23] Abraham J.K., Philip B., Witchurch A., Varadan V.K., Reddy, C.C., A Compact Wireless Gas Sensor Using a Carbon Nanotube/PMMA Thin Film Chemiresistor, *Smart Mater. Struct.*, **13**: 1045–1049 (2004).
- [24] Jin Z.X., Sun X., Xu G.Q., Goh S.H., Ji W., Nonlinear Optical Properties of Some Polymer/Multi-Walled Carbon Nanotube Composites, *Chem. Phys. Lett.*, **318**: 505–510 (2000).
- [25] Philip B., Xie J.N., Chandrasekhar A., Abraham J., Varadan V.K., A Novel Nanocomposite from Multiwalled Carbon Nanotubes Functionalized with a Conducting Polymer, *Smart Mater. Struct.*, **13**: 295–298 (2004).
- [26] Lin Y., Rao A.M., Sadanandan B., Kenik E.A., Sun Y.P., Functionalizing Multiple-Walled Carbon Nanotubes with Aminopolymers, *J. Phys. Chem. B*, **106**: 1294–1298 (2002).
- [27] Riggs J.E., Guo Z.X., Carroll D.L., Sun Y.P., Strong Luminescence of Solubilized Carbon Nanotubes, *J. Am. Chem. Soc.*, **122**: 5879–5880 (2000).
- [28] Bühler V., “Polyvinylpyrrolidone Excipients for Pharmaceuticals: Povidone, Crospovidone and Copovidone”, Berlin, Heidelberg, New York: Springer, (2005).
- [29] Altemeier W.A., Schiff, L., Gall, E.A., Giuseffi, J., Freiman, D., Mindrum, G., Braunstein, H., Physiological and Pathological Effects of Long-Term Polyvinylpyrrolidone Retention, *A.M.A. Archives of Surgery*, **69**: 309–314 (1954).
- [30] Achaby M.E., Essassi E.M., Qaiss A., Coted Multi-Walled Carbon Nanotubes for the Preparation of Nanocomposite Films, *Plastic Research Online*, 10.1002/spepro.004342 (2012).
- [31] Khan W. S., Asmatulu R., Eltabey M.M, Electrical and Thermal Characterization of Electrospun PVP Nanocomposite Fibers, *J. Nanomater.*, 10.1155/2013/160931 (2013).
- [32] Tripathy M. K., Mohamed M., Shah S.A.A., Mohamed R., Majeed A.B.A., Solute Solvent Interactions of Polyvinylpyrrolidone Wrapped Single Walled Carbon Nanotubes (PVP-SWNTs) in Water by Viscometric Studies, *Orient. J. Chem.*, **29** (2): 539-544 (2013).
- [33] Sudha P.N., Aisverya S., F-Multiwalled Carbon Nanotube-Grafted-Chitosan/Polyvinyl Pyrrolidone Blends: Preparation and Characterization, *Der Pharmacia Lettre.*, **6**(3): 9-14 (2014).
- [34] Zhang K., Choi H.J., Kim J.H., Preparation and Characteristics of Electrospun Multiwalled Carbon Nanotube/Polyvinylpyrrolidone Nanocomposite Nanofiber, *J. Nanosci. Nanotechnol.*, **11**: 5446-5449 (2011).
- [35] Huang S., Zhou L., Li M.C., Wu Q., Kojima Y., Zhou D., Preparation and Properties of Electrospun Poly(vinylpyrrolidone)/Cellulose Nanocrystal/Silver Nanoparticle Composite Fibers, *Materials*, **9**: 523-536 (2016).

- [36] Mokhtary M., Rastegar Niaki M., Polyvinylpolypyrrolidone-Supported Boron Trifluoride (PVPP-BF₃); Highly Efficient Catalyst for Oxidation of Aldehydes to Carboxylic Acids and Esters by H₂O₂, *Iran. J. Chem. Eng. (IJCCE)*, **32**(1): 43-48 (2013).
- [37] Haaf F., Sanner A., Strub F., Polymers of N-Vinylpyrrolidone: Synthesis, Characterization and Uses, *Polymer J.*, **17**(1): 143-152 (1985).
- [38] Koo C.M., Ham H.T., Choi M.H., Kim S.O., Chung I.J., Characteristics of Polyvinylpyrrolidone-Layered Silicate Nanocomposites Prepared by Attrition Ball Milling, *Polymer*, **44**: 681-689 (2003).
- [39] Turner D.T., Schwartz A., The Glass Transition Temperature of Poly(N-vinyl pyrrolidone) by Differential Scanning Calorimetry, *Polymer* **26**: 757-762 (1985).